

MEDİAN DOZ ALLOKSANIN SİÇAN ENDOKRİN PANKREAS VE PLASMA GLİKOZ DÜZEYLERİNE ETKİSİ

Dr. Osman ÖZCAN*, Dr. Erdal KARAÖZ**, Dr. Cumhur KILINÇ***, Dr. Kemal IRMAK*

* GATA Histoloji-Embriyoloji Bilim Dalı, ** Fırat Üniversitesi Tıp Fakültesi Histoloji Embriyoloji Bilim Dalı

*** GATA Biokimya Anabilim Dalı

ÖZET

Alloksan, pankreas endokrin adacıklarındaki insulin salgılayan B hücrelerine toksik etkisinden dolayı diyabetik hayvan modeli oluşturmada kullanılan kimyasal ajandır. Bu çalışmada alloksanın, sıçan plazma glukoz düzeyine ve özellikle pankreas endokrin adacıklarında neden olduğu değişikliklerin incelenmesi amaçlandı.

Yetişkin Wistar norvegicus sıçanlara intravenöz olarak 70 mg / kg alloksan enjeksiyonu yapıldı. 8. hafta sonunda plazma glukoz düzeylerindeki ve pankreas endokrin adacıklarındaki değişiklikler ince yapı düzeyinde araştırıldı. Serum glikoz düzeyi kontrol grubunda 125 ± 18.9 mg/dl alloksan grubunda ise 192 ± 35.5 mg/dl olarak bulundu ($P < 0.001$). Pankreasın dış salgı yapan bölümünde herhangi bir histopatolojik değişiklik izlenmedi. Pankreas endokrin adacıklarının ince yapı düzeyinde incelenmesinde, adacıkların kontrol grubundan daha küçük olduğu gözlandı. Adacıklar genelde A ve D hücrelerinden oluşan ve bu hücrelerde dikkati çeken bir patoloji olmadığı gözlandı. B hücrelerinin ise sayılarının azaldığı, endoplazma retikulumu sisternalarının genişlediği, mitokondriyonlarda vakuolleşme olduğu ve granüllerde belirgin bir azalma olduğu saptandı.

Bu çalışma, alloksanın pankreas adacıklarındaki A ve D hücreleri üzerine herhangi bir toksik etkisi olmadığını, B hücrelerinin ise seçici olarak etkilendigini göstermiştir.

Anahtar Kelimeler : Alloksan, diyabet, pankreas, B hücresi, ince yapı

GİRİŞ

İnsülin, 21 aminoasitli A ve 30 aminoasitli B zincirlerinin sülfidril (-SH) gruplarının ortaklaşa yaptığı disülfir köprüleri ile bağlanmış polipeptid yapısında

SUMMARY

The Effect of Median Dose Alloxan on Rat Endocrine Pancreas and Plasma Glucose Levels

Alloxan is a chemical agent used to produce diabetic animal model with its toxic effect on pancreatic islet B cells. This study was planned to investigate the changes in pancreatic islets and plasma glucose levels after the administration of alloxan. Alloxan (70 mg/kg) were injected intravenously to adult Wistar norvegicus rats. At the end of the eighth week, plasma glucose levels were determined and pancreatic islets were investigated at the ultrastructural levels.

Plasma glucose level was 125.1 ± 18.9 in control group while 192 ± 35.5 in experimental group ($P < 0.001$). Pathologic evidence of toxicity was not present in exocrine pancreas. Pancreatic islets were smaller in experimental group than in the control. A and D cells at the islets of Langerhans remained unaltered, while B cells decreased in number, having dilated individual profiles of endoplasmic reticulum, decreased secretory granules, and vacuolated mitochondria. This study shows that alloxan has no toxic effect on A and D cells while selectively toxic on B cells of the pancreatic islets.

Key Words : Alloxan, diabetes, pancreas, B cell, ultrastructure

bir hormon olup, Langerhans adacıği B hücreleri tarafından sentezlenip sağlanmaktadır. B hücreleri tarafından salgılanan insülin hormonunun mutlak ya da göreceli yetersizliği sonucu oluşan tablo in-

süline bağlı diyabet (tip I diyabet)'tir (1). insülin salgılanışındaki yetersizlik karbonhidrat metabolizmasında bozukluklara yol açarak, kanda aşırı glikoz birikmesine (hiperglisemi) ve idrarda aşırı şeker atmasına (glikozürü) neden olur.

Alloksan monohydrate (Alloksan), insulin salgılayan B hücrelerine toksik etkisiyle diyabetik hayvan modeli oluşturmada sıkılıkla kullanılan kimyasal ajandır. Alloksanın bu etkisi, pankreas endokrin adacık hücrelerinden insulin salgılamaktan sorumlu B hücresi üzerine seçici olduğu çeşitli araştırcılar tarafından rapor edilmiştir (1-22) Evan ve arkadaşları (8) intravenöz olarak 40 mg/kg alloksanın tek doz olarak uygulanmasına rağmen 80 hayvanın 13'ünde hiperglisemi gözlenmemesi ve 100 mg/kg dozun bir çok araştırcı tarafından diabetik olarak bildirilmesinen dolayı, bu çalışmada, insüline bağımlı diyabetes mellitus geliştirme modeli olarak kullanılan alloksanın 70 mg/kg tek dozda uygulanmasını takiben 8. hafta sonunda plasma glukoz düzeyine etkileri ve endokrin pankreas hücrelerinde neden olduğu değişikliklerin ince yapı düzeyinde incelenmesi amaçlanmıştır.

MATERIAL VE METOD

GATA deneyel araştırma merkezinden alınan, ergin dişi Wistar norvegicus sincanlara ($n=10$) tek doz intravenöz (i.v) yolla alloksan monohydrate (Sigma) 70 mg/kg verildi. Kontrol grubu hayvanlara ($n=5$) eşit hacimde serum fizyolojik (%0.9'luk NaCl) i.v. yolla uygulandı. Kontrol ve deney grubu aynı şartlar altında beslendi. Sekiz haftalık süre sonunda, bir gece aç bırakılan deney hayvanlarından intrakardiyak kan örnekleri alındı. Bu örnekler yarı saat bekletildikten sonra 2000 devir/dakika hızla 5 dakika santrifüj edildi. Serum glukoz düzeyleri Technicon RA 1000 otoanalizöründe glukoz oksidaz yöntemi ile enzimatik olarak ölçüldü. Elektron mikroskopik çalışmalar için, 8'inci hafta sonunda hayvanlar servikal dislokasyon yöntemi ile öldürülerek pankreasları çıkartıldı. Doku örnekleri, önce M/15 fosfat tamponlu % 2'lük glutaraldehit

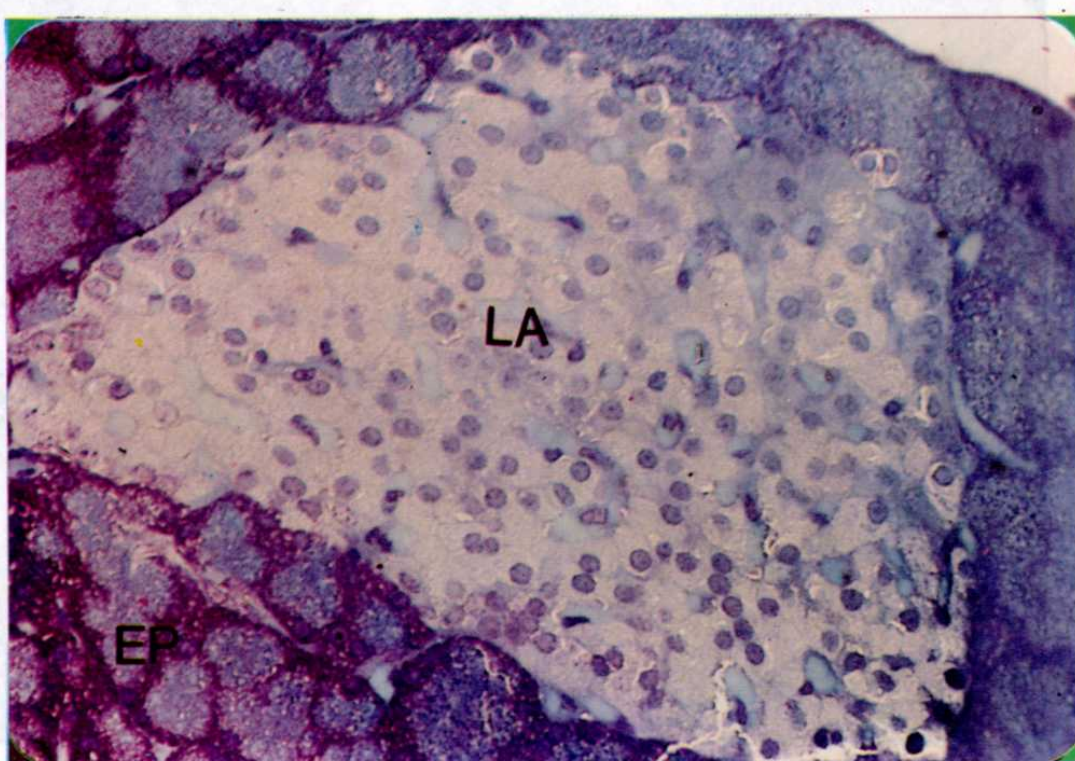
içinde + 4°C de bir gece tespit edildiler. Daha sonra, M/15 fosfat tamponuyla yıkandı, aynı tampon içinde hazırlanan % 1'lik osmium tetroksit içinde 60 dakika bırakılarak ikinci kez tespit edildiler. Bu tamponla tekrar yıkandıktan sonra oda ısısında yükselen etil alkol dizilerinden geçirilerek sudan kurtarıldılar ve eşit oranda araldit CY212 ve DDSA karışımına gömüldüler. Hazırlanan araldit bloklardan önce 1-2 mikrometre kalınlığında yarı ince kesitler alındı. Yarı ince kesitler toluidin mavisi boyası boyanıp Olympus BHS/BHT tipi fotomikroskop ile mikrofotoğrafları çekildi. Daha sonra, LKB mikrotomuyla alınan 500-600 A°'luk ince kesitler önce %1'lik uranil asetat ile daha sonra da kurşun nitrat, kurşun asetat, kurşun sitrat karışımıyla (Sato) boyanarak Carl Zeiss Em 9S2 elektron mikroskopunda incelenip elektronmikrofotoğrafları çekildi.

BULGULAR

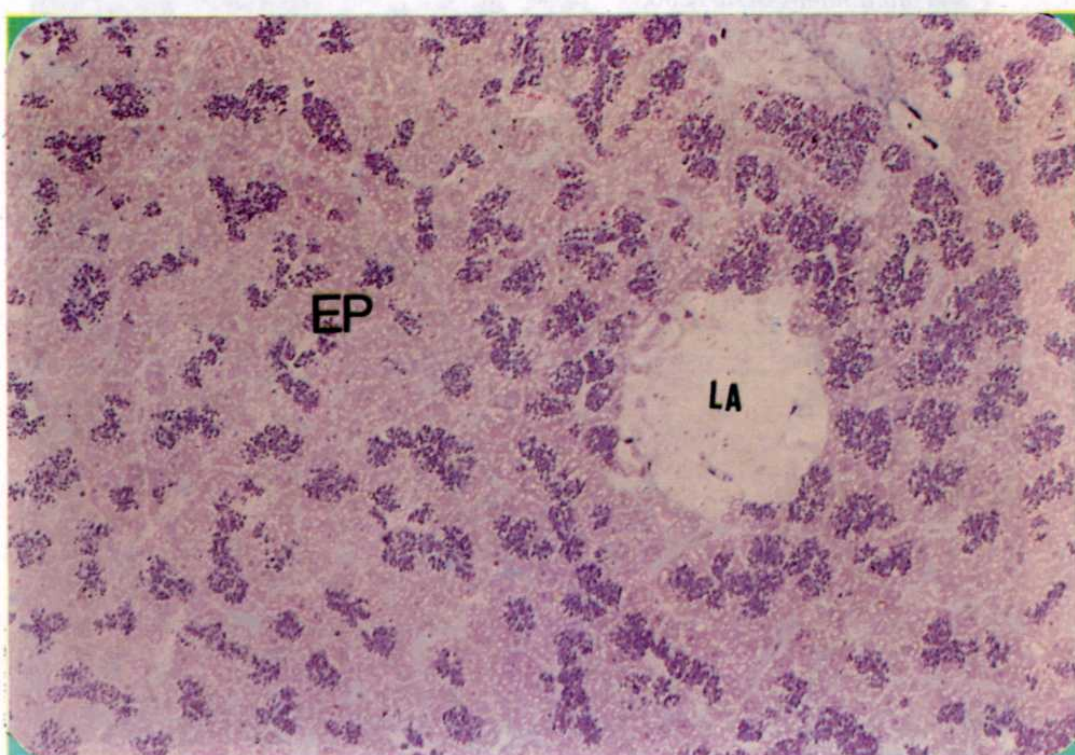
Serum Glukoz Düzeyleri : Ortalama glukoz düzeyi ve standart sapma; kontrol grubunda 129.1 ± 18.9 , diyabet grubunda 192 ± 35.5 bulundu. İki grup ortalaması arasındaki fark istatistiksel olarak anlamlı görüldü ($P < 0.001$).

Histolojik Bulgular : Kontrol grubu olarak alınan ve tek doz i.v. serum fizyolojik verilen hayvanlardan elde edilen kesitlerin ışık ve elektron mikroskopik incelenmesinde normal histolojik ve sitolojik yapılar izlendi (Resim-1,4).

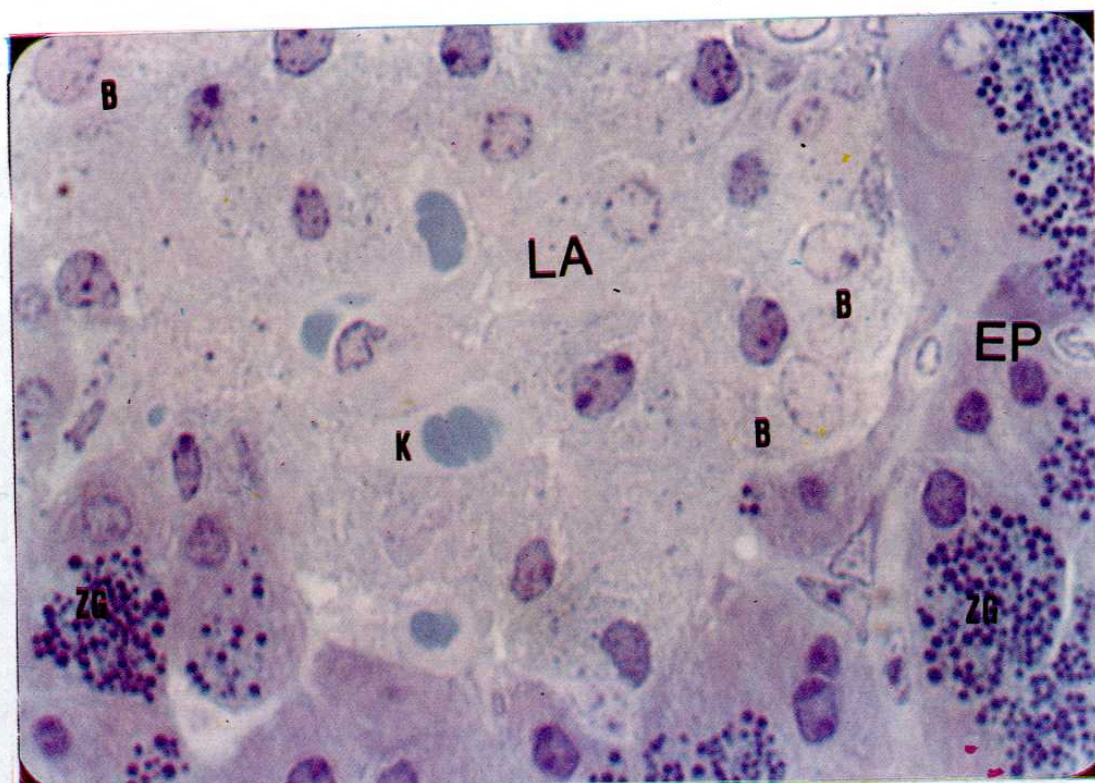
Deney grubunun ışık mikroskopik incelenmelerinde, ekzokrin pankreas ve endokrin pankreasın A, D hücre populasyonları, deney grubuya aynı histolojik görünümde olduğu gözlandı. Deney grubunda adacık hacmi ve B hücre sayısında azalma gözlenmişdi (Resim-2,3). B hücrelerinin elektron mikroskopik incelemelerde ise kontrol grubuna göre; hücre granüllerinde belirgin bir azalma olduğu, granüllü endoplazma retikulumu sisternalarında kontrol grubunda gözlenmeyen genişlemeler ve mitondrilerde vakuolleşmeler başlıca gözlenen yapısal değişikliklerdi (Resim-5,6).



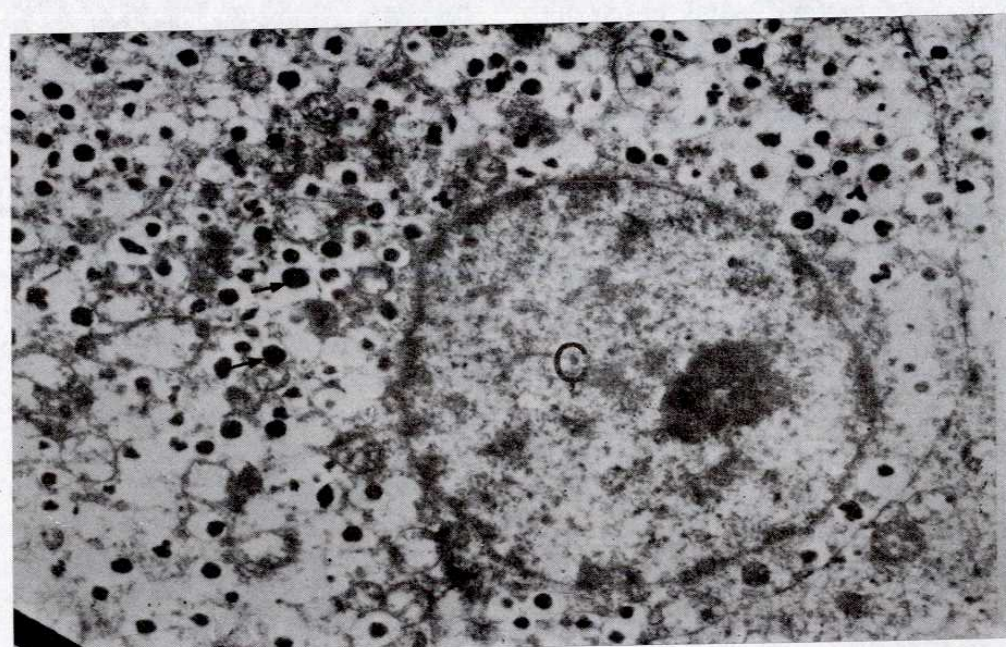
Resim 1. Kontrol grubu hayvanlara ait pankreasın normal yapı gösteren görünümü. LA; Langerhans adacığı, EP; Ekzokrin pankreas, Toluidin mavisi, X 480.



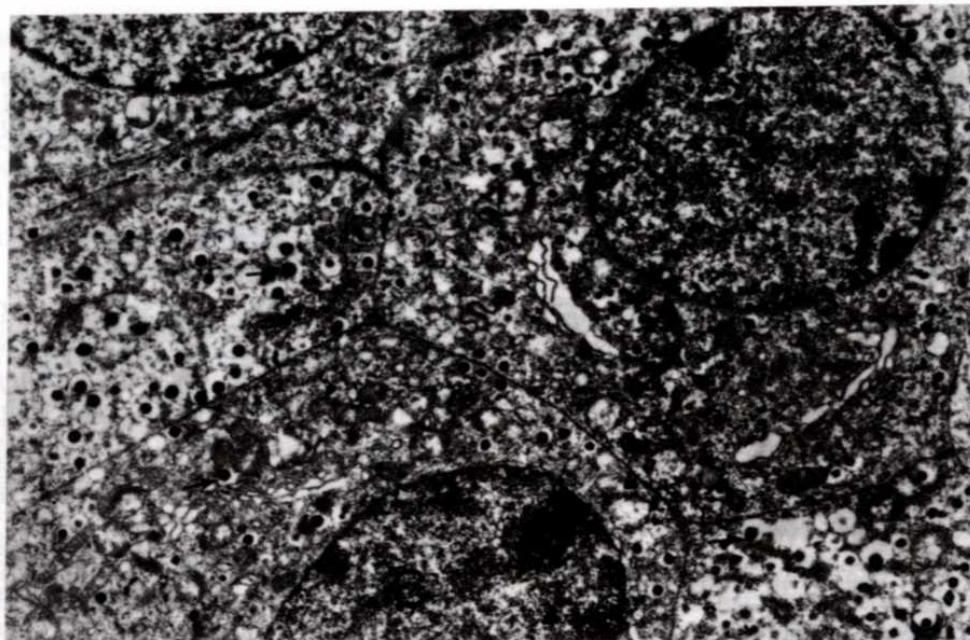
Resim 2. Intravenöz alloksan uygulandıktan sonra 8.nci haftadaki hayvanın pankreas dokusunun histolojik görünümü. LA; Langerhans adacığı, EP; Ekzokrin pankreas, Toluidin mavisi, X 240.



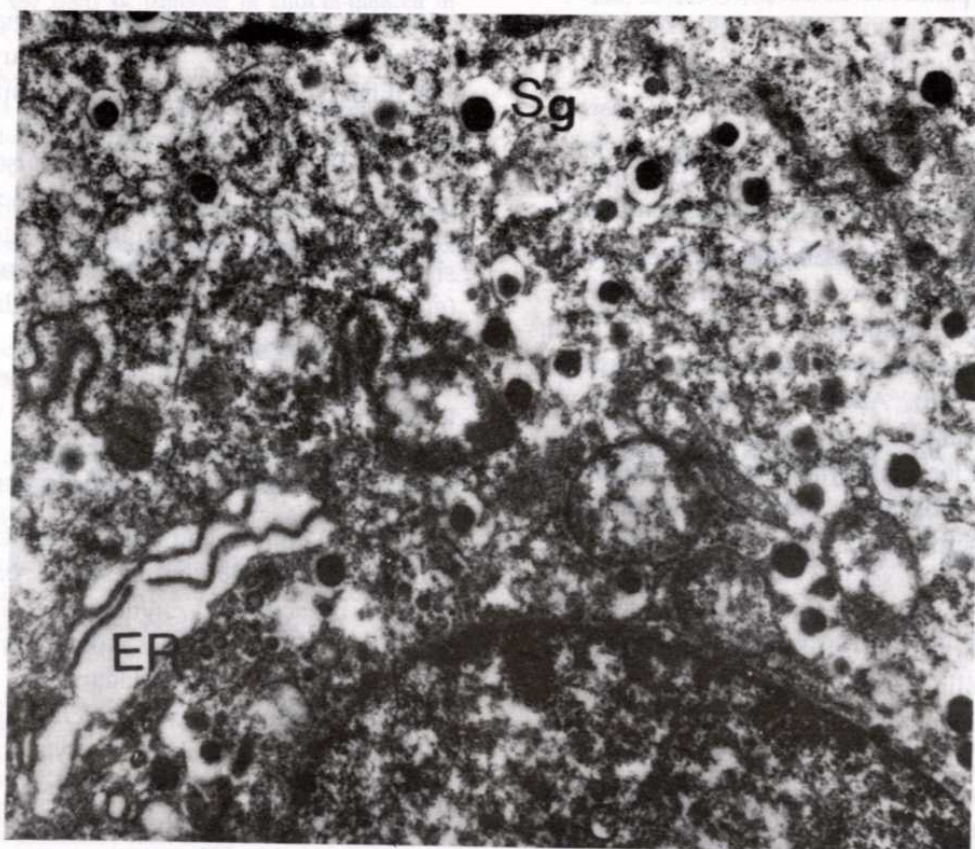
Resim 3 Resim 2 deki adacığın ileri büyütmedeki görünümü. LA; Langerhans adacığı, EP; Ekzokrin pankreas, ZG; Zimogen granüller, K; Kapiller, B; B hücreleri, Toluidin mavisi, X 1200.



Resim 4. Kontrol grubuna ait Langerhans adacık B hücresinin elektron mikroskopik görünümü. Ç; Çekirdek, Oklar; salgı granüllü, M; Mitokondriyon X 8300.



Resim 5. Alloksan grubuna ait Langerhans adacık B hücrelerinin elektron mikroskoptaki görünümü. Salgı granülleri belirgin şekilde azalmış B hücreleri Ç; Çekirdek, Ok; Salgı granülü, X 6600.



Resim 6. Aynı kesitin daha büyük büyültmedeki görünümü. Endoplazma retikulumu sisternalarında genişlemeler izlenmekte. ER; Endoplazma retikulumu, Ç; Çekirdek, Sg; Salgı granülleri, X 16500.

TARTIŞMA

Son yıllarda, yapılan birçok deneyel hayvan çalışmada, alloksanın Langerhans adacıklarında seçici olarak B hücrelerini etkileyerek, diyabet oluşturuğu bildirilmiştir (1-22). Evan ve arkadaşları (8) intravenöz olarak 40 mg/kg alloksanı tek doz olarak 80 hayvana uyguladıklarında bu hayvanların 13 içinde hiperglisemi bulguları gözlemlenmeleri ve 100 mg/kg alloksanın intraperitoneal veya intravenöz olarak tek doz uygulanması ile (6) hayvanların diyabetik olduğu bildirilmiştir. Çalışmamızda tek doz alloksan (70 mg/kg) intravenöz (kuyruk veninden) uygulandıktan 8 hafta sonra, hayvanların pankreas endokrin adacık hücrelerinde gözlenen başlıca yapısal değişikler; adacık hacminde, B hücre sayısında ve B hücre granüllerinde azalma, granüllü endoplazma retikulum sisternalarında genişleme ve mitokondrial vakuolleşmeyi içeriyordu. Bu değişiklikler, hayvanlardan alınan kan örneklerinde serum glukoz düzeylerindeki değişiklikler ile uyumlu idi. Ekvokrin pankreas dokusu ve A, D adacık hücrelerinde ise herhangi bir değişiklik gözlenmemesi alloksanın etkisinin seçici olarak B hücrelerine olduğunu gösterdi.

Yakın zamanda yapılan birçok çalışma, "nasıl oluyorla alloksan sadece B hücreleri üzerine toksik etki yapıyor?" sorusuna yanıt alamamıştır. Alloksanın koljisinin bilinen etkisine benzeyen antimitotik aktivite gösterdiği saptanmıştır. Bu şekilde, B hücrelerinde salgı granüllerinin taşınımı ile ilgili mikrotubuller etkilenmeyece ve hiperglisemi oluştugu düşünülmektedir (16). Ancak, bu tür bir etki alloksanın seçici olarak B hücreleri üzerinde oluşturduğu değişiklikleri açıklayamamaktadır. Diğer bir çalışmada (20), alloksanın, proteinlerinin sülfidril gruplarıyla birleşerek, onları glutatyon'a indirgeyip oksitleyerek disülfit şeklinde dönüştürüdüğü bildirilmektedir. Bu arada pek çok enzimin biyolojik aktivitesinin de serbest sülfidril gruplarının varlığına bağlı olduğu bilindiğinden, bu olayın B hücrelerindeki dejenerasyonu başlattığı düşünülmektedir. Özellikle, B hücrelerinin gerek mitokondriyal, gerekse ekstromitokondriyal olarak ATP-az'a bağımlı -SH (sülfidril) gruplarını diğer pankreas hücrelerine oranla en fazla bulundurduğu dikkate alınacak olursa, bu etkilemenin seçici olarak B hücresinde yönelik olmasının nedeni açıklık ka-

zanabilir. Ayrıca, B hücrelerindeki mitokondriyal lezyonların olası açıklaması da bu olabilir.

Son zamanlarda, diyabette özellikle vasküler komplikasyonlu hastalarda lipit metabolizma ve yapısında önemli değişiklikler olduğu bildirilmektedir. Bu olgularda, yapısal değişiklikler oksidatif özelliktedir ve plazma lipoproteinleri ve hücre membranlarındaki lipitlerin oksidasyonu, diyabette vasküler hastalıkların gelişimi ile birliktedir (6). Birçok araştırma, deneyel diyabet modelinde çeşitli dokularda (karaciğer, böbrek) dalak, kalp, testis, pankreas, iskelet kası ve intestinal mukoza) lipitlerin artmış peroksidasyonun ve intraselüler savunma enzimlerinin (süperoksit dismutaz, glutatyon peroksidaz, katalaz) azaldığını bildirmektedir (7, 17, 19, 23-29). Böylece, oksidatif baskının diyabetik vasküler hastalıkların gelişiminde bağımsız risk faktörü olabileceği düşünülmektedir. Pankreatik adacıklarda alloksanın neden olduğu serbest radikal (hidrojen peroksit, süperoksit anyon, hidroksil radikali) üretimindeki artış ile B hücrelerine seçici olarak toksik etkisi arasında ilişki olduğunu bildiren çalışmalar vardır. Alloksan uygulanmasında adacıklarda serbest radikal üretiminin artışı, ancak antioksidan enzimlerin (süperoksit dismutaz, katalaz) varlığında azaldığı gözlenmiştir (2). Bu sonuçlar ile serbest radikal üretimindeki artış bağlı olarak B hücre membranlarında gelişecek fonksiyonel bozulmalar ve sonraki hücresel gelişmeler (endoplazmik retikulumda, mitokondriyonlardaki ve salgı granüllerindeki histopatolojik değişiklikler) arasında ilişki kurulabilir. Ayrıca, deneyel diyabet modelinde antioksidan enzimlerin ve diğer antioksidanların varlığında diyabetik etkinin azalmasını bildiren raporlar da bildirilmiştir (2,6,17).

Tüm bu çalışmalara rağmen, alloksanın pankreas endokrin adacık hücrelerine seçici olarak toksin etkisi tam bir aşıklık kazanmamıştır. Yakın dönemde, genel olarak adhezyon molekülleri ve/veya reseptörleri olarak tanımlanan ve hücreleri işlevlerini, metabolik aktivitelerini, göç etmelerini, çoğalmalarını kontrol eden yapıların varlığı ortaya konmuştur (30-33). Acaba, yapılacak immunohistokimyasal çalışmalarla, B hücrelerine özgü reseptörlerin klasifikasyonu saptanabilir mi? Bu sorunun yanıtı, alloksanın B hücrelerine olan seçici etkisini açıklayabilir kanısındayız.

Sonuç olarak, bu çalışmada, 70 mg/kg alloksan uygulanmış sıçanların pankreas endokrin adacıklarındaki B hücrelerinde yapısal değişikliklere neden olduğu, bu değişiklikler daha yüksek doz uygulanan önceki bilgilere uygunluk göstermiştir.

Plazma glikoz düzeyi ile karşılaştırıldığında bu dozun deneyel diyabet oluşturmak için emin bir doz olmadığı ancak alloksanın toksik etki mekanizmasının araştırılması için yeterli olduğu fikrine dayanır.

KAYNAKLAR

- Meehan CJ, Davidson PM, Young DG, Foulis AK. The partial diabetic pancreas: A histological study of a new animal model. *Pancreas* 1987; 2 (1): 91-8.
- Asayama K, English D, Slonim AE, Burr TM. Chemiluminescence as an index of drug-induced free radical production in pancreatic islets. *Diabetes* 1984; 33 (2): 160-3.
- Black HE, Rosenblum IV, Capen CC. Chemically induced (streptozotocin-alloxan) diabetes mellitus in the dog. Biochemical and ultrastructural studies. *Am J Pathol* 1980; 98 (2): 295-309.
- Boquist L. A new hypothesis for alloxan diabetes. *Acta Pathol Microbiol Scand* 1980; 88 (4): 201-9.
- Chakravarthy BK, Gupta S, Gode KD. Functional beta cell regeneration in the islets of pancreas in alloxan-induced diabetic rats by (-)-epicatechin. *Life Sci* 1982; 31 (24): 2693-7.
- Chertow BS, Webb MD, Leidy JW, Cordle MB. Protective effects of retinyl on streptozocin-and alloxan-induced beta cell toxicity and diabetes in the rat. *Res Commun Chem Pathol Pharmacol* 1989; 63 (1): 27-44.
- Cooper ME, Allen TJ, QJ, Q'Brien RC, Papazoglu D, Clarke Be. Nephropathy in model combining genetic hypertension with experimental diabetes mellitus. *Diabetes* 1990; 39: 1575-9.
- Evan A, Pirmong SA, Connors B. The effect of alloxan-induced diabetes on the kidney. *The Ana Rec* 1984; 208: 37-47.
- Gorray KC, Baskin D, Brodsky J, Fujimoto WY. Responses of pancreatic B cells to alloxan and streptozocin in the guinea pig. *Pancreas* 1986; 1 (2): 130-8.
- Jansson L, Sandler S. Alloxan-induced diabetes in the mouse: Time course of pancreatic B-cell destruction as reflected in an increased islet vascular permeability. *Virchows Arch* 1986; 410 (1): 17-21.
- Mann GV, Adams L. The renal lesions associated with experimental diabetes in the rat. *Am J Pat* 1984; 50: 565-8.
- Muller R, Laucke R, Trumper B Cossel L. Tritium-Thymidine autoradiography of the rat pancreas after alloxan-induced diabetes mellitus. *Zentralbl Pathol* 1991; 137 (4): 360-5-13.
- Nakamura M, Hamaguchi K, Ono J. The endocrine pancreas of alloxan-diabetic rats: Microangiopathy as revealed by electron microscopy. *Dabetes Res Clin Pract* 1989; 7 (3): 169-79.
- Rosemblum IV, Borbolt TA, Billhymer B, Coulston F. Biochemical and histological characterization of chemical-induced diabetes mellitus in the rhesus monkey (*Macaca mulatta*). *Ecotoxicol Environ Saf* 1981; 5 (4): 513-27.
- Sandler S, Welsh N. Mechanism of pancreatic B-cell degeneration during the course of insulin-dependent diabetes mellitus. *Acta Pediatr Scand* 1985; 74 (320): 7-13.
- Schmidt R, Muller H, Unger E, Vater W. Investigations of the alloxsan effect on B-cell of the endocrine pancreas in special regard to the alloxsan-metal-complex-theory. II. Effects of alloxsan, alloxsanic acid, Zn (2+), and ethylenglycol-bis-(betaaminoethyl ether) -N,N'-tetraaceticacid (EGTA) on the assembly of microtubulin proteins (MTP) into microtubules or MTP sheets in vitro. *Acta Histochem* 1990; 88 (2): 93-101.
- Song Y, Yu JR. Preventive effect of bombesin on alloxan-induced diabetes in rat. *Sheng-Li Hsueh Pao* 1991; 43 (5): 428-35.
- Spadella CT, Breim LC, Mercadante MC, de-Macedo CS, de-Macedo AR. Metabolic effect of pancreatic duodenal transplantation in diabetic rats. *Microsurgery* 1992; 13(3): 132-7.
- Tesfamariam B, Cohen RA. Free radicals mediate endothelial cell dysfunction caused by elevated glucose. *Am J Physiol* 1992; 263 (2/2): 321-6.
- Uygun M, Erbengi T, Gürtekin M, Yılmazer G. Alloksan yoluyla diyabet oluşturulmuş sıçanlarda bazı adacık hücrelerinde gözlenen ince yapısal değişikler, IX. Ulusal Elektron Mikroskopı Kitapçığı, 1989: 239.
- Wilson C, Foulis AK, Imrie CW, Carter DC. Selective islet preservation during alloxan diabetogenesis: Studies on the syrian hamster. *Surg Res Commun* 1988; 3 (1-2): 105-11.
- Zafirova M, Jablenska R, Popov A, Goranova I, Vassileva E, Duhault J. Morphological characteristics of the endocrine pancreas in alloxan diabetes after cyclosporin A administration. *Cell Mol Biol* 1991; 37 (6): 585-96.
- Crouch R, Kimsey G, Priest DG, Sarda A. Effect of streptozocin on erythrocyte and rectal superoxide dismutase. *Diabetologia* 1978; 15: 53-7.
- Loven DP, Scheal HP, Oberley LW, Wilson HD, Bruch L. Superoxide dismutase in the intestinal mucosa of the streptozotocin-diabetic rat. *Endocrinology* 1982; 111: 737-42.

25. Low PA, Nickander KK. Oxygen free radical effects in sciatic nerve in experimental diabetes. *Diabetes* 1991; 40: 873-7.
26. Matkovics B, Varga SI, Szabol L, Witas H. The effect of diabetes on the activities of the peroxide metabolism enzymes. *Horm Metab Res* 1982; 14: 77-9.
27. Sato Y, Hatta N, Sakamoto N, Matsuoka S, Ohishi N. Lipid peroxide level in plasma of diabetic patients. *Biochem Med* 1981; 25: 373-8.
28. Wohaieb SA, Godin DV. Alterations in tissue antioxidant systems in the spontaneously diabetic (BB Wistar) rat. *Can J Physiol Pharmacol* 1987; 65: 1014-18.
29. Wohaieb SA, Godin DV. Alterations in free radical tissue-defence mechanisms in streptozotocin-induced diabetes in rat. *Diabetes* 1987; 36: 1014-8.
30. Jutila MA. Leukocyte traffic to sites of inflammation. *APMIS* 1992; 100: 191-201.
31. Kansas GH. Structure and function of 1-selectin. *APMIS* 1992; 100: 287-293.
32. Reichardt LF, Tomoselli KJ. Extracellular matrix molecules and their receptors: Functions in neural development. *Ann Rev Neurosci* 1991; 14: 531-70.
33. Springer TA. Adhesion receptors of the immunosystem. *Nature* 1990; 246 (2) : 425-34.